

1. はじめに 本報告では、材料内に内在する欠陥を球形と仮定し、無限個の周期的配置を有する球状欠陥による弾性波の反射・透過特性を明らかにすることを試みる。解析上の要点は次の2点にある：

- 1) 欠陥配置の周期性を利用して、unit cellに対するグリーン関数を作成する。
- 2) 反射・透過係数の決定には、このunit cellに相反定理を応用する。

なお、解析は3次元動弾性解析である。

2. 問題の記述と波動場の特性 Fig. 1に示すように、半径dの球状欠陥が $x_1x_2$ 平面にその原点を有するよう

に周期的に配置されている場合を考える。入射波は $x_1x_3$

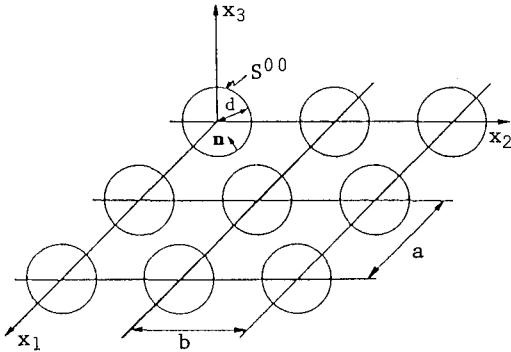


Fig. 1 Array of spherical cavities with centers in  $x_1x_2$ -plane

平面に伝播ベクトルを持つ平面波とする。定常状態を仮定すれば、母体内における変位に対する基礎式は

$$\nabla^2 \mathbf{U}(\mathbf{x}) = \mu \Delta \mathbf{U} + (\lambda + \mu) \nabla P \cdot \mathbf{U} + \rho \omega^2 \mathbf{U} = 0 \quad (1)$$

となる。なお、球の表面は表面力 free である：

$$\mathbf{U}(\mathbf{x}) = \lambda \mathbf{E} \cdot \mathbf{n} \mathbf{U} + \mu (\mathbf{V} \mathbf{U} + \mathbf{U} \mathbf{E}) \cdot \mathbf{n} = 0, \quad \mathbf{x} \in S^{nn}. \quad (2)$$

ここに、球表面 $S^{nn}$ は次のように表示できる

$$(x_1 - na)^2 + (x_2 - nb)^2 + x_3^2 = d^2, \quad -\infty < n < \infty. \quad (3)$$

また、入射波は次のような平面P波と仮定する

$$\mathbf{U}^I(\mathbf{x}) = \mathbf{P} \exp(i k_L P \cdot \mathbf{x}), \quad (4)$$

ここに  $\mathbf{P} = (\sin \theta, 0, \cos \theta).$  (5)

入射波の伝播ベクトル $\mathbf{P}$ は $x_1x_3$ 面にあり、かつ、球状欠陥は全 $x_1$ 軸に沿って配置されているので、散乱波 $\mathbf{U}^S$ を次のように仮定することができる

$$\mathbf{U}^S(\mathbf{x}) = \bar{\mathbf{U}}^S(\mathbf{x}) \exp(i k_L x_1 \sin \theta). \quad (6)$$

また、境界条件(2)及び球状欠陥配置の $x_1, x_2$ 軸に関する周期性より、散乱場 $\bar{\mathbf{U}}^S$ は次のような周期性を持つ

$$\bar{\mathbf{U}}^S(x_1+a, x_2+b, x_3) = \bar{\mathbf{U}}^S(x_1, x_2, x_3). \quad (7)$$

式(6), (7)を満たす散乱波 $\mathbf{U}^S$ はポテンシャル $\phi, \psi$ を用いて次のように書くことができる

$$U_i^S = \phi_{i,j} + e_{ij,k} \psi_{k,j}, \quad (8)$$

ここに

$$\phi_{i,j}^{\pm} = \frac{1}{P} \sum_{\beta} \frac{Y_{\beta}^{\pm}}{Y_{\beta}^{\pm}} \exp i(\alpha_p^L x_1 + \beta_g x_2 \pm \gamma_{pg}^L x_3) \quad (9)$$

$$\psi_{k,j}^{\pm} = \frac{1}{P} \sum_{\beta} \frac{Y_{\beta}^{\pm}}{Y_{\beta}^{\pm}} \exp i(\alpha_p^T x_1 + \beta_g x_2 \pm \gamma_{pg}^T x_3) \quad (10)$$

( $\phi^+, \psi^+$ は $x_3 > 0$ で、 $\phi^-, \psi^-$ は $x_3 < 0$ で適用される)。式(9), (10)において

$$\begin{aligned} \alpha_p^L &= k_L \sin \theta + 2P\pi/a, \quad \alpha_p^T = k_T \sin \theta_T + 2P\pi/a \\ \beta_g &= 2g\pi/b \end{aligned} \quad (11)$$

$$\begin{aligned} \gamma_{pg}^{\pm} &= [k_L^2 - (\alpha_p^{\pm})^2 - (\beta_g)^2]^{1/2} \quad (\beta = L, T) \\ \operatorname{Im} \gamma_{pg}^{\pm} &\geq 0 \end{aligned} \quad (12)$$

であり、(11)式における $k_L$ と $k_T$ は次式を満足する

$$k_L \sin \theta = k_T \sin \theta_T. \quad (13)$$

また、式(9), (10)において、各( $p, q$ )項は波動モードの( $p, q$ )成分を表し、 $+Y_{pg}^{\pm} x_3$ を持つ成分は透過波を、 $-Y_{pg}^{\pm} x_3$ を持つ成分は反射波を意味する。 $p=q=0$ に対しては $\gamma_{00}^L, \gamma_{00}^T$ 共に実数であり、対応するモードはすべての周波数に対して伝播波となる。以後、これを0次波動モードと呼ぶ。 $k_L < k_T$ であるので、下記の周波数帯

$$k_T = \omega/c_T < \min_{p,q} [(\alpha_p^{\pm})^2 + (\beta_g)^2]^{1/2}, \quad (p=8 \neq 0) \quad (14)$$

においては、0次波動モードのみが伝播波となり、他の波動モードは幾何学的な意味で減衰波となる。

3. 0次波動モードと反射・透過係数 以後、式(14)に示された周波数帯を考える。この周波数帯においては、 $x_2 = nb$  ( $n=0, \pm 1, \pm 2, \dots$ ) 面に対する対称性により、 $x_2$ 軸方向に偏るS波成分(いわゆるSH成分)はないことがわかる。これより、0次波動モードに対する全変位場 $\mathbf{U} = \mathbf{U}^I + \mathbf{U}^S$ の表現は次のようになる：

$x_3 > 0$ に対し

$$\mathbf{U}_+^L(\mathbf{x}) = \mathbf{P} (1 + i k_L Y_+^L) \exp(i k_L P \cdot \mathbf{x}) \quad (15)$$

$$\mathbf{U}_+^T(\mathbf{x}) = \mathbf{d} + i k_T Y_+^T \mathbf{z} + \exp(i k_T P_+^T \cdot \mathbf{x}) \quad (16)$$

$x_3 < 0$ に対し

$$\underline{u}_L^L(z) = p \exp(i k_L L \cdot z) + d_- i k_L \underline{\psi}_{2+}^{00} \exp(i k_L L \cdot z) \quad (17)$$

$$\underline{u}_T^T(z) = d_- i k_T \underline{\psi}_{2+}^{00} \exp(i k_T L \cdot z) \quad (18)$$

ここに,  $L$  は式(5) に定義されており, また

$$\left. \begin{aligned} \underline{d}_{\pm} &= (\mp \cos \theta_T, 0, \sin \theta_T) \\ \underline{L}_{\pm}^T &= (\sin \theta_T, 0, \pm \cos \theta_T) \\ \underline{L}_- &= (\sin \theta, 0, -\cos \theta) \end{aligned} \right\} \quad (19)$$

である. 式(15)-(18)において,  $\underline{u}^L$  は縦波成分を,  $\underline{u}^T$  は横波成分を表す.

ここで, 式(15)-(18)における係数  $\underline{\psi}_{2+}^{00}, \underline{\psi}_{2+}^{00}$  を決めるために, Fig.2 に示すような  $|x_1| \leq a/2, |x_2| \leq b/2, -\infty < x_3 < \infty$  で定義される unit cell を考える. この unit cell に対し, 相反定理は次のように書ける

$$\int_S (\underline{u}^B \cdot \underline{\xi}_R^A - \underline{u}^A \cdot \underline{\xi}_R^B) ds = 0, \quad (20)$$

ここに

$$S = S_1^+ + S_2^+ + S_3^+ + S^{00}. \quad (21)$$

いま,  $\{\underline{u}^A, \underline{\xi}_R^A\}$  として式(15)-(18) に示された実系(  $S_1^+$  上),  $\{\underline{u}^B, \underline{\xi}_R^B\}$  として次のような仮想系を考える

$$\underline{u}_R^{BL} = -\underline{p} \exp(-i k_L L \cdot z) \quad (22)$$

$$\underline{u}_T^{BL} = -\underline{p} \exp(-i k_L L \cdot z) \quad (23)$$

$$\underline{u}_R^{BT} = -d_- \exp(-i k_T L \cdot z) \quad (24)$$

$$\underline{u}_T^{BT} = -d_+ \exp(-i k_T L \cdot z). \quad (25)$$

これら仮想系は, 0次の反射及び透過縦(L), 横(T) 波に対し, それぞれ, 位相及び伝播方向が共に逆になるように選ばれている. 実系 A として式(15)-(18) を, 仮想系 B として式(22)を相反定理(20)に代入すると次式を得る

$$-2(\lambda + 2\mu) ab (i k_L)^2 \cos \theta \underline{\psi}_{2+}^{00} - \int_{S^{00}} \underline{u}^A \cdot \underline{\xi}_R^{BL} ds = 0. \quad (26)$$

ここに,  $\underline{\xi}_R^{BL}$  は(22)式の  $\underline{u}_R^{BL}$  に対応する  $S^{00}$  上の表面

力である. いま, 縦波に対する反射係数  $R^L$  を

$$R^L = i k_L \underline{\psi}_{2+}^{00} \quad (27)$$

と定義すると,  $R^L$  は次のように書ける

$$R^L = -F_L \int_{S^{00}} \underline{u}^A \cdot \underline{\xi}_R^{BL} ds, \quad (28)$$

ここに

$$F_L = 1 / \{2 i k_L (\lambda + 2\mu) ab \cos \theta\}. \quad (29)$$

同様に, 縦波に対する透過係数  $T^L$ , 横波に対する反射及び透過係数  $R^T$  及び  $T^T$ , を次のように定義すれば

$$T^L = 1 + i k_L \underline{\psi}_{2+}^{00} \quad (30)$$

$$R^T = i k_T \underline{\psi}_{2+}^{00}, \quad T^T = i k_T \underline{\psi}_{2+}^{00}, \quad (31)$$

これら  $T^L, R^T, T^T$  は次のように書ける

$$T^L = 1 - F_L \int_{S^{00}} \underline{u}^A \cdot \underline{\xi}_R^{BL} ds \quad (32)$$

$$R^T = -F_T \int_{S^{00}} \underline{u}^A \cdot \underline{\xi}_R^{BT} ds \quad (33)$$

$$T^T = -F_T \int_{S^{00}} \underline{u}^A \cdot \underline{\xi}_T^{BT} ds, \quad (34)$$

ここに

$$F_T = 1 / \{2 i k_T \mu ab \cos \theta_T\}. \quad (35)$$

式(28), (32)-(34)において,  $R^L, T^L, R^T, T^T$  表現における未知量  $\underline{u}^A$  は, Fig.2 に示した unit cell に対するグリーン関数を用いて, 単一球面上の境界積分方程式を解くことにより得られる.

**4. 結果** 結果の一例を Fig.3 に示す. この場合, 入射波は入射角を  $\theta = 30^\circ$  とする縦波であり, 球の半径  $d$  で無次元化した縦波の波数  $k_L d$  に対し  $R^L, T^L, R^T, T^T$  の絶対値を式(14)の周波数に対してプロットしてある. また, この結果はエネルギー関係

|R^L|^2 + |T^L|^2 + (1 - \sin^2 \theta / \kappa^2)^{1/2} [ |R^T|^2 + |T^T|^2 ] / \kappa \cos \theta = 1 \quad (36)

( $\kappa = k_T / k_L$ ) を最大 3% の誤差で満足する.

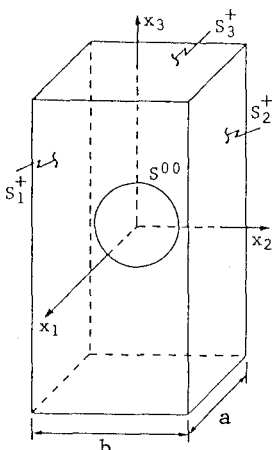


Fig.2 Unit cell for application of reciprocal identity

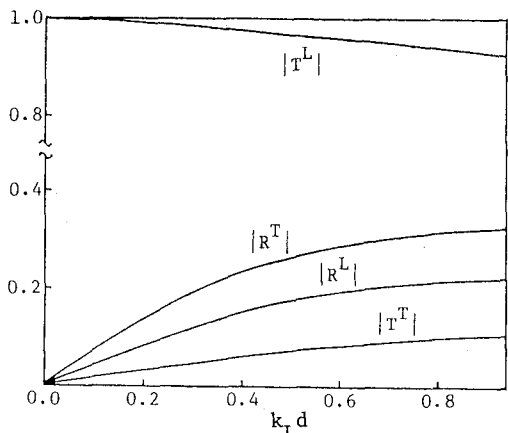


Fig.3 Reflection and transmission coefficients for  $\theta = 30^\circ$